

Introduction

Computational Mathematics

王怀瑾

School of Mathematical Science
Xiamen University, China

2022 年 10 月 17 日



背景

离散计算

应用

100%

$$\int_{-\infty}^{\infty} \delta(x) dx = 1$$
$$\sqrt{1 - \frac{1}{2} \left(\frac{1}{2} + \frac{1}{2} \right)} = \sqrt{1 - \frac{1}{2}} = \sqrt{\frac{1}{2}} = \frac{1}{\sqrt{2}}$$

设 Chirp 信号 $x(t) = \exp(-j200\pi t^2 + j200\pi t)$, $-0.5s \leq t \leq 0.5s$. 以采样率 $f_s = 500Hz$ 对信号进行采样.

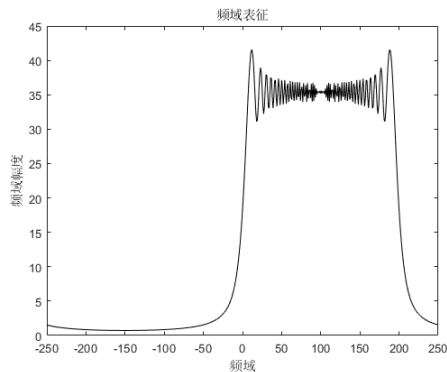
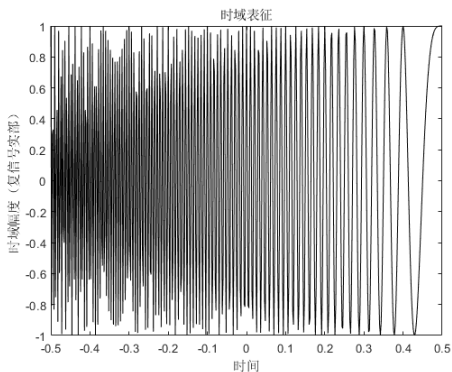


图 1: $x(t)$ 的时域和频域特征

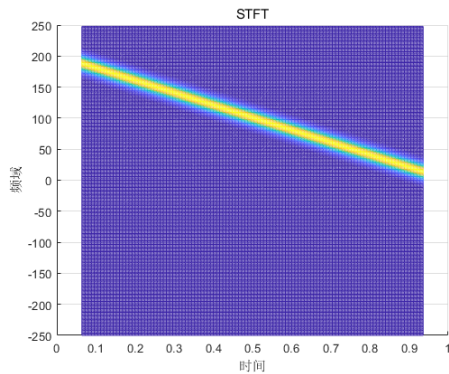
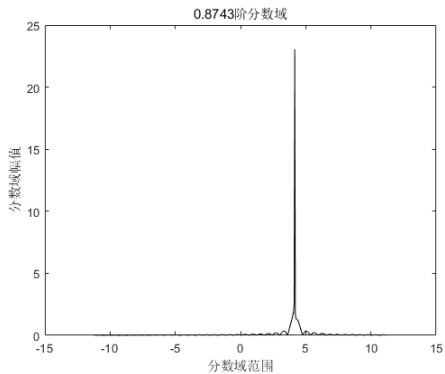


图 2: $x(t)$ 的时域和频域特征

分数 Fourier 变换的两个性质:

信号 $x(t)$ 的 Wigner-Ville Distribution (WVD)[TL16] 定义为

$$\overline{X}(t, \omega) = \int_{-\infty}^{\infty} x\left(t + \frac{\tau}{2}\right) x^*\left(t - \frac{\tau}{2}\right) e^{-j\omega\tau} d\tau \quad (2)$$

设 $x(t)$ 的 p 阶分数 Fourier 变换为 $X_{\alpha}(u) = \mathcal{F}^p\{x(t)\}$, 根据 WVD 的定义 (2), 记 $\overline{X}_{\alpha}(u, v)$ 为 $X_{\alpha}(u)$ 的 WVD. 那么就有关系

$$\begin{cases} t = u \cos \alpha - v \sin \alpha \\ \omega = u \sin \alpha + v \cos \alpha \end{cases}$$

因此就有

$$\overline{X}(u \cos \alpha - v \sin \alpha, u \sin \alpha + v \cos \alpha) = \overline{X}_{\alpha}(u, v)$$

从而, $x(t)$ 的 WVD 经过逆时针旋转 α 之后与 $X_{\alpha}(u)$ 的 WVD 相同. 从这个角度可以说明, p 阶的分数 Fourier 变换相当于 α 角度的 WVD 时频平面的旋转.

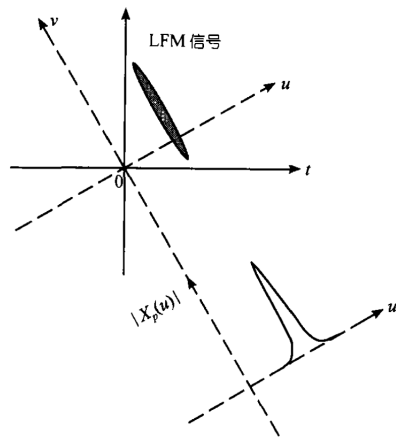
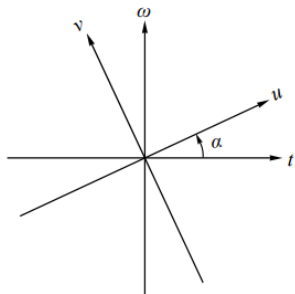


图 3: 时频平面的旋转

与 FT 的联系

不妨设 $0 < \alpha < \pi$, 令 $\omega_n = \frac{2\pi n \sin \alpha}{L}$, $n = -\infty, \dots, +\infty$, $\Delta\omega = \omega_{n-1} - \omega_n = \frac{2\pi \sin \alpha}{L}$ 那么

$$\{K_{-\alpha}(t, \omega_n)\}_{n=-\infty}^{\infty}$$

构成 $L^2(-\frac{L}{2}, \frac{L}{2})$ 的一组正交基. $\forall x(t) \in L^2(-\frac{L}{2}, \frac{L}{2})$, 则

$$x(t) = \sum_{n=-\infty}^{\infty} a_n K_{-\alpha}(t, \omega_n), \text{ 其中 } a_n = \frac{1}{L} \int_{-\frac{L}{2}}^{\frac{L}{2}} x(s) K_{-\alpha}^*(s, \omega_n) ds \quad (3)$$

当 $x(t)$ 的周期为 \mathbb{R} , 此时令 $L \rightarrow \infty$, 可以得到分数 Fourier 变换:

$$\begin{aligned} x(t) &= \sum_{n=-\infty}^{\infty} \frac{1}{L} \int_{\frac{L}{2}}^{\frac{L}{2}} x(s) K_{-\alpha}^*(s, \omega_n) ds K_{-\alpha}(t, \omega_n) = \frac{1}{L} \sum_{n=-\infty}^{\infty} \int_{\frac{L}{2}}^{\frac{L}{2}} x(s) K_{\alpha}(s, \omega_n) K_{-\alpha}(t, \omega_n) ds \\ &= A_{\alpha} A_{-\alpha} \int_{\frac{L}{2}}^{\frac{L}{2}} x(s) K_{\alpha}(s, \omega_n) K_{-\alpha}(t, \omega_n) ds \Delta\omega \\ &\xrightarrow{L \rightarrow \infty} A_{\alpha} A_{-\alpha} \int_{-\infty}^{\infty} \int_{-\infty}^{\infty} x(s) K_{\alpha}(s, u) K_{-\alpha}(t, u) ds du = \mathcal{F}^{-p} \{ \mathcal{F}^p \{ x(t) \} \} \end{aligned}$$

① 分数 Fourier 变换

背景

离散计算

应用

在计算 FRFT, 由于 \mathcal{F}^4 是一个恒等变换, 那么只需要考虑 $p \in [0, 4)$ 的范围. 根据 (1), 可以知道当 p 靠近 0 或者 ± 2 时, 积分核 K_α 会出现奇异. 为避免这个问题, 可以把 FRFT 的变换阶次 p 限制到 $0.5 \leq p \leq 1.5$, 然后对超过这个范围的 p 值进行变换操作

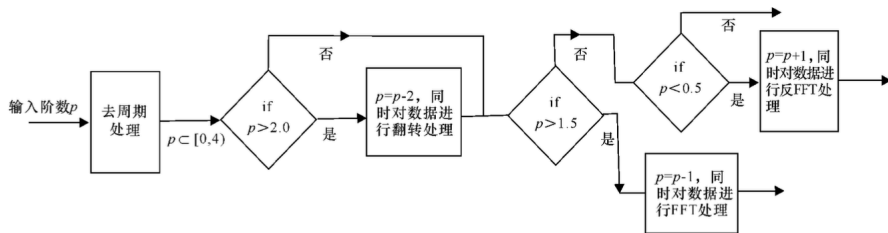


图 4: 分数阶次处理流程

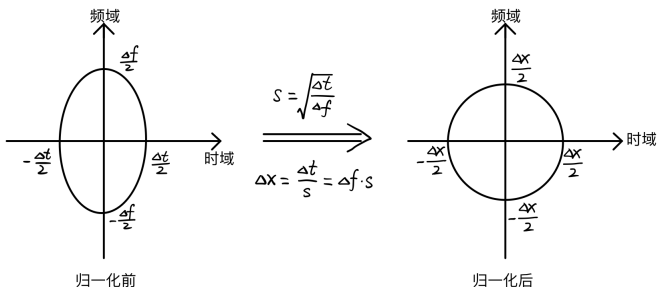
为了使得 $x(t)$ 的每一个分数域的支撑集都在相同的区间内, 在进行分数 Fourier 变换之前, 需要对 $x(t)$ 先进行量纲归一化. [OH96] [CHL07]

量纲归一化

设信号 $x(t)$ 的时域限制为 $[-\frac{\Delta t}{2}, \frac{\Delta t}{2}]$, 频域限制于 $[-\frac{\Delta f}{2}, \frac{\Delta f}{2}]$. 这个假设说明在这区间内, 集中了信号的大部分能量. 令 $s = \sqrt{\Delta t / \Delta f}$, 对时域和频域作变量变换

$$u_0 = \frac{t}{s}, \quad u_1 = fs \quad (4)$$

则在新坐标系下, u_0 和 u_1 轴的能量大部分集中在 $[-\Delta x/2, \Delta x/2]$, 其中 $\Delta x = \sqrt{\Delta f \Delta t}$. 在新的坐标系下, 信号可以取 $N = \Delta x^2$ 个采样点, 以 Δx^{-1} 为间隔.[OH96]



离散 FRFT I

根据 [OH96] 提出的方法: 首先, 对 $x(t)$ 作用量纲归一化后, 可以把 (1) 改写成

$$\mathcal{F}^p\{x(t)\} = A_\alpha e^{j\pi\theta u^2} \int_{-\infty}^{\infty} e^{-j2\pi\beta ut} [e^{j\pi\theta t^2} x(t)] dt \quad (5)$$

其中, $\alpha = \frac{\pi p}{2}$, $\theta = \cot \alpha$, $\beta = \csc \alpha$.

$x(t)$ 的时域支撑集为 $[-\Delta x/2, \Delta x/2]$, 对 $e^{j\pi\theta t^2} x(t)$ 进行 Shannon 插值得到

$$e^{j\pi\theta t^2} x(t) = \sum_{n=-N}^N e^{j\pi\theta \left(\frac{n}{2\Delta x}\right)^2} x\left(\frac{n}{2\Delta x}\right) \text{sinc}\left(2\Delta x \left(t - \frac{n}{2\Delta x}\right)\right) \quad (6)$$

将(6)代入(5)可以得到

$$X_\alpha(u) = \frac{A_\alpha}{2\Delta x} \sum_{n=-N}^N \exp\left(j\pi\theta u^2 + j\pi\theta \left(\frac{n}{2\Delta x}\right)^2 - j2\pi\beta u \left(\frac{n}{2\Delta x}\right)\right) x\left(\frac{n}{2\Delta x}\right) \quad (7)$$

离散 FRFT II

对 u 离散化得

$$X_{\alpha} \left(\frac{m}{2\Delta x} \right) = \frac{A_{\alpha}}{2\Delta x} \sum_{n=-N}^N \exp \left(j\pi\theta \left(\frac{m}{2\Delta x} \right)^2 + j\pi\theta \left(\frac{n}{2\Delta x} \right)^2 - j2\pi\beta \frac{mn}{(2\Delta x)^2} \right) x \left(\frac{n}{2\Delta x} \right) \quad (8)$$

(8) 的直接计算需要 $\mathcal{O}(N^2)$ 的运算量. 利用 $mn = [m^2 + n^2 - (m - n)^2]/2$ 改写 (8) 可以产生 $\mathcal{O}(N \log N)$ 的算法.

$$X_{\alpha} \left(\frac{m}{2\Delta x} \right) = \frac{A_{\alpha}}{2\Delta x} \exp \left(j\pi(\theta - \beta) \left(\frac{m}{2\Delta x} \right)^2 \right) \sum_{n=-N}^N \exp \left(j\pi\beta \left(\frac{m - n}{2\Delta x} \right)^2 \right) \exp \left(j\pi(\theta - \beta) \left(\frac{n}{2\Delta x} \right)^2 \right) x \left(\frac{n}{2\Delta x} \right) \quad (9)$$

注: (9) 式可以通过 $\exp \left(j\pi\beta \left(\frac{n}{2\Delta x} \right)^2 \right)$ 和 $\exp \left(j\pi(\theta - \beta) \left(\frac{n}{2\Delta x} \right)^2 \right) x \left(\frac{n}{2\Delta x} \right)$ 的卷积运算得到.

编程实现步骤 I

设信号 $x(t)$ 满足

$$x(t) = 0, \text{ if } |t| > \frac{\Delta t}{2}$$

以采样率 f_s (需要满足 $f_s > \Delta f$) 进行采样得到 $N = \Delta t f_s$ 个采样点 (总可选取适当大的数使得 $\Delta t f_s$ 为平方数). 则作量纲归一化后 $\Delta x = \sqrt{\Delta t f_s}$, 时域支撑集变为 $[-\Delta x/2, \Delta x/2]$, 此时 $N = \Delta x^2$. (为了叙述方便, 不妨假设 N 为奇数, 当 Δx^2 为偶数时 $N = \Delta x^2 + 1$; 当 Δx^2 为奇数时, $N = \Delta x^2$). 采样点为:

$$x(t_n), \text{ 其中 } t_n = \frac{n}{\Delta x}, n = -\frac{N-1}{2}, \dots, \frac{N-1}{2} \quad (10)$$

这相当于我们是对量纲归一化后的信号进行以 Δx 的采样率进行采样的. 这是满足采样定理的. 低通采样定理中的 $\Omega_p = \pi \Delta x$, 从而最低采样角频率 $\omega_s = \frac{2\pi \Delta x}{\sin \alpha}$. 当考虑 $0.5 < \alpha < 1.5$ 时, 可以知道

$$0.3\Delta x \cdot 2\pi < \frac{2\pi \Delta x}{\sin \alpha} < 0.6\Delta x \cdot 2\pi$$

编程实现步骤 II

下面阐述对 (9) 进行实现的步骤.

由于 (9) 中信号的采样率为 $2\Delta x$, 而我们已知的是采样率为 Δx 的信号. 因此需要获得信号的双倍采样点.

$$x\left(\frac{n}{\Delta x}\right) \Rightarrow x\left(\frac{n}{2\Delta x}\right)$$

其次, 获取双倍采样后的信号的时域支撑集仍为 $[-\Delta x, \Delta x]$, 而频域支撑集从 $[-\Delta x/2, \Delta x/2]$ 延拓到 $[-\Delta x, \Delta x]$, 因此需要把信号的时域支撑集也延拓到 $[-\Delta x, \Delta x]$. 这么做是为了保证计算出来的分数域支撑集也包含于 $[-\Delta x, \Delta x]$. **因此需要对获取双倍采样率后的信号进行量纲归一化.**

结合 (9) 可以得到基本的计算流程如下:

- ① 获取双倍采样点
- ② 量纲归一化
- ③ 与 Chirp 点乘
- ④ 与 Chirp 卷积
- ⑤ 与 Chirp 点乘

获取双倍采样信号 I

从采样率为 Δx 的采样信号 $x(n/\Delta x)$ 来获取采样率为 $2\Delta x$ 的采样信号

$$x\left(\frac{n}{\Delta x}\right) \Rightarrow x\left(\frac{n}{2\Delta x}\right)$$

这里采用的办法是对 $x(n/\Delta x)$ 进行 Shannon 插值然后按 $2\Delta x$ 的间隔取点. 因此从原来的 N 采样点扩充到 $2N - 1$ 个采样点.

对 (10) 中的 N 个点进行 Shannon 插值得到:

$$Q(t) = \sum_n x(t_n) \text{sinc}(\Delta x t - n) \tag{11}$$

$Q(t)$ 满足 $Q(t_n) = x(t_n)$. 令 $u_m = \frac{m}{2\Delta x}$, $m = -(N - 1), \dots, (N - 1)$, 我们的目标是获得所有的 $Q(u_m)$. 因此通过 (11) 可以直接计算得到, 但是这样的复杂度是 $O(N^2)$.

借助卷积的快速运算可以求得 $Q(u_m)$, 可以用 $O(N \log N)$ 的复杂度实现. 先作移位变换, 令 $i = \frac{N+1}{2} + n$, $j = m + N$, 以及

获取双倍采样信号 II

$$\mathbf{p}[i] = x\left(\frac{1}{\Delta x}\left(i - \frac{N+1}{2}\right)\right), \quad \mathbf{q}[j] = Q\left(\frac{j-N}{2\Delta x}\right), \quad i = 1, \dots, N, \quad j = 1, \dots, 2N-1.$$

我们的目标变为获得所有的 $\mathbf{q}[j]$. 而且

$$\mathbf{q}[j] = \sum_{i=1}^N \mathbf{p}[i] \operatorname{sinc}\left(\frac{j+1}{2} - i\right), \quad j = 1, \dots, 2N-1.$$

注意, 上式不是一个卷积形式. 通过"间隔补零"的方式可以把它化为卷积形式, 令

$$\mathbf{z}[k] = \begin{cases} \mathbf{p}\left[\frac{k+1}{2}\right], & k \text{ odd} \\ 0, & k \text{ even} \end{cases} \quad \text{for } k = 1, 2, \dots, 2N-1$$

获取双倍采样信号 III

$$\Rightarrow \mathbf{q}[j] = \sum_{s=1}^{2N-1} \mathbf{z}[s] \text{sinc} \left(\frac{j-s}{2} \right) \quad (12)$$

利用以下结论可以快速求解 (12):

设 $\mathbf{z}[n]$, $n = 1, \dots, N$ 是一组离散的向量, $f(n)$ 是连续函数 $f(t)$ 在 n 处的离散点值. 那么可以快速求解

$$\mathbf{q}[m] = \sum_{n=1}^N \mathbf{z}[n] f(m-n), \quad m = 1, \dots, N.$$

令 $\mathbf{y}[n] = f(n-N)$, $n = 1, \dots, 2N-1$, 则 $\mathbf{q} = (\mathbf{z} * \mathbf{y})(N : 2N-1)$, 利用 FFT 可以得到

$$\mathbf{q} = \text{FFT}^{-1} [\text{FFT}(\mathbf{z}) \text{FFT}(\mathbf{y})] (N : 2N-1)$$

为延拓时域, 只需要在双倍采样后的信号前后补 $N-1$ 个零.

$$\mathbf{q} \leftarrow [\text{zeros}(1, N-1), \mathbf{q}, \text{zeros}(1, N-1)]$$

```
1 function xint=interpolation(x)
2 % sinc interpolation
3     N = length(x);
4     y = zeros(2*N-1,1);
5     y(1:2:2*N-1) = x;
6     xint = fconv(y(1:2*N-1), sinc([- (2*N-3):(2*N-3)]'/2));
7     xint = xint(2*N-2:end-2*N+3);
8
9 function z = fconv(x,y)
10 % convolution by fft
11     N = length([x(:);y(:)])-1;
12     P = 2^nextpow2(N);
13     z = ifft( fft(x,P) .* fft(y,P));
14     z = z(1:N);
```

```
1 x = [zeros(N-1,1) ; interpolation(x) ; zeros(N-1,1)];
```

① 分数 Fourier 变换

背景

离散计算

应用

Chirp 信号的参数估计 I

设 Chirp 信号: $x(t) = a \exp(j\pi Kt^2 + j2\pi f_d t + j\phi)$, 按照 (4) 对其进行量纲归一化得到 (自变量仍记为 t)

$$x(t) = a \exp(j\pi Ks^2 t^2 + j2\pi f_d s t + j\phi) \quad (13)$$

此时 $x(t)$ 的各分数域的支撑集都为 $[-\Delta x/2, \Delta x/2]$. 根据 (5)

$$X_\alpha(u) = A_\alpha \exp[j\pi(\cot \alpha)u^2] \int_{-\infty}^{\infty} x(t) \exp[j\pi(\cot \alpha)t^2] \exp[-j2\pi(\csc \alpha)tu] dt \quad (14)$$

FRFT 可以看成是对信号的“旋转”，选择合适的旋转角度对信号进行分数阶 Fourier 变换，可使信号在某一特定的分数阶 Fourier 域上呈现出能量的聚集，其幅度出现明显的峰值。利用这一特性，我们对 (α, u) 平面上进行二维搜索得到

$$\{\hat{\alpha}, \hat{u}\} = \arg \max_{\alpha, u} |X_\alpha(u)|^2 \quad (15)$$

Chirp 信号的参数估计 II

根据 (14) 式, 以及信号 (13) 式可以知道当

$$Ks^2 + \cot \hat{\alpha} = 0, \quad f_d s - \hat{u} \csc \hat{\alpha} = 0 \quad (16)$$

时, $|X_{\alpha}(u)|$ 取到最大值, 此时

$$X_{\hat{\alpha}}(\hat{u}) = A_{\hat{\alpha}} \exp[j\pi \cot \hat{\alpha} \hat{u}^2] a \exp(j\phi) \Delta x \quad (17)$$

利用 (16) 和 (17) 式可以得到 Chirp 信号 $x(t)$ 的各参数估计值 [QT03]

$$\begin{cases} \hat{K} = -\frac{\cot \hat{\alpha}}{s^2} \\ \hat{f}_d = \frac{\hat{u} \csc \hat{\alpha}}{s} \\ \hat{\phi} = \arg \left[\frac{X_{\hat{\alpha}}(\hat{u})}{A_{\hat{\alpha}} \exp(j\pi \cot \hat{\alpha} \hat{u}^2)} \right] \\ \hat{a} = \frac{|X_{\hat{\alpha}}(\hat{u})|}{\Delta x |A_{\hat{\alpha}}|} \end{cases} \quad (18)$$

下面对 Chirp 信号

$$x(t) = a \exp(j\pi Kt^2 + j2\pi f_d t + j\phi)$$

进行实验. 取 $K = 400$, $f_d = 200$, $\phi = 1$, $a = 10$, 时长 $\Delta t = 1\text{s}$, 采样率 $f_s = 1000\text{Hz}$.

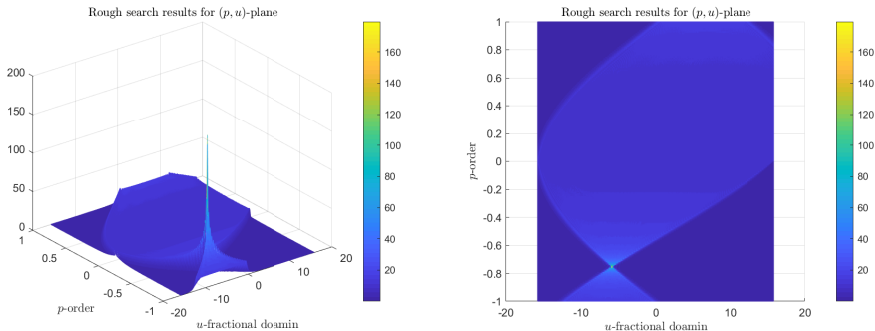


图 5: Chirp 信号 $x(t)$ 的搜索结果

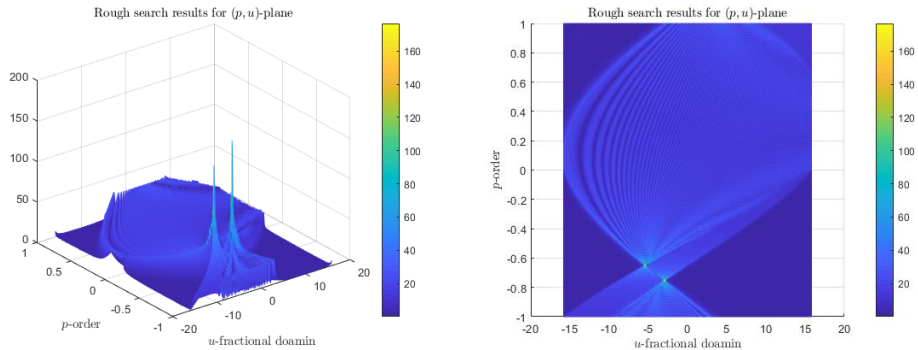


图 6: 能量相同的两个 Chirp 信号叠加的粗搜结果

设发射信号是一个二次调频信号

$$x(t) = \exp \left[j2\pi \left(\frac{A}{6} t^2 + \frac{B}{2} t + D \right) t \right] \quad (19)$$

经过延迟时间 τ 返回的是

$$x(t) = \exp \left[j2\pi \left(\frac{A}{6} (t - \tau)^3 + \frac{B}{2} (t - \tau)^2 + D(t - \tau) \right) \right] \quad (20)$$

两者混频之后形成中频信号

$$\exp \left[j\pi A\tau t^2 + j2\pi \left(B\tau - \frac{A\tau^2}{2} \right) t - j2\pi \left(\frac{A}{6} \tau^3 + \frac{B}{2} \tau^2 + D\tau \right) \right] \quad (21)$$

距离分辨率估计:

$$\Delta d = \frac{\csc^2 \left[\operatorname{acot} \left(\frac{AT}{f_s} \frac{2d}{c} \right) \right] \pi}{\frac{2AT}{f_s c}} |\Delta p| \quad (22)$$

参考文献 1

- [NV80] NAMIAS and VICTOR. “The Fractional Order Fourier Transform and its Application to Quantum Mechanics”. In: *Geoderma* 25.3 (1980), pp. 241–265.
- [OH96] Ozaktas and Haldun. “Digital computation of the fractional Fourier transform.”. In: *IEEE Transactions on Signal Processing* 44.9 (1996), pp. 2141–2141.
- [QT03] Lin Qi and Ran Tao. “基于分数阶 Fourier 变换的多分量 LFM 信号的检测和参数估计”. In: *中国科学 E 辑* 33.8 (2003), pp. 749–749.
- [CHL07] Peng Chen, Zhaohuan Hou, and Yihui Liang. “离散分数阶傅里叶变换快速算法的 DSP 详细实现”. PhD thesis. 2007.
- [TL16] Xianghong Tang and Qiliang Li. 时频分析与小波变换. 科学出版社, 2016.